

## Inferência: Verossimilhança e Bayesiana para a variância de uma normal

1. Seja  $x_1, \dots, x_n$  uma a.a. de uma distribuição normal de média  $\mu$  conhecida e variância  $\sigma^2$  desconhecida. Quando necessário, considere a priori  $[\sigma^2] \propto 1/\sigma^2$ .

Considere que foi tomada a amostra dada pelos valores a seguir, e que  $\mu = 10$ . Obtenha a expressão da posteriori.

12,1 ; 8,7 ; 11,3 ; 9,2 ; 10,5 ; 9,7 ; 11,6

- (a) Obtenha a expressão da verossimilhança do modelo.
- (b) Obtenha as funções score e hessiana.
- (c) Obter a estimativa analítica e numericamente.
- (d) Obtenha a aproximação quadrática da verossimilhança.
- (e) Repita itens acima para alguma reparametrização de conveniência.
- (f) Obtenha a expressão da distribuição a posteriori.
- (g) É possível identificar a posteriori do modelo como alguma distribuição conhecida?
- (h) Indique (com comandos do R ou de alguma outra forma) como resumos pontuais e intervalares desta distribuição a posteriori.
- (i) Obtenha amostras da posteriori por um algoritmo MCMC.

1. (a) As funções de verossimilhança ( $L(\sigma^2)$ ), log-verossimilhança ( $l(\sigma^2)$ ), escore ( $U(\sigma^2)$ ) e hessiana ( $H(\sigma^2)$ ) são dadas por:

$$L(\sigma^2; y) = \prod_{i=1}^n \frac{1}{\sqrt{2\pi\sigma^2}} \exp \left\{ -\frac{1}{2\sigma^2} (y_i - \mu)^2 \right\}$$

$$= (2\pi)^{-n/2} (\sigma^2)^{-n/2} \exp \left\{ -\frac{1}{2\sigma^2} \sum_{i=1}^n (y_i - \mu)^2 \right\}$$

$$l(\sigma^2; y) = \log\{L(\sigma^2; y)\} = (-n/2)[\log(2\pi) + \log(\sigma^2) + \frac{\sum_{i=1}^n (y_i - \mu)^2}{n} (\sigma^2)^{-1}]$$

$$U(\sigma^2) = \frac{dl(\sigma^2; y)}{d\sigma^2} = (-n/2)[(\sigma^2)^{-1} - \frac{\sum_{i=1}^n (y_i - \mu)^2}{n} (\sigma^2)^{-2}]$$

$$H(\sigma^2) = \frac{d^2 l(\sigma^2; y)}{d(\sigma^2)^2} = (-n/2)[-(\sigma^2)^{-2} + \frac{\sum_{i=1}^n (y_i - \mu)^2}{n} (\sigma^2)^{-3}]$$

O estimador máxima verossimilhança  $\hat{\sigma}^2$  obtido fazendo  $U(\sigma^2) = 0$ , o valor da informação observada ao redor de  $\hat{\sigma}^2$ ,  $I_o(\hat{\sigma}^2) = -H(\hat{\sigma}^2)$  e a variância do estimador  $\text{Var}(\hat{\sigma}^2) = I^{-1}(\hat{\sigma}^2)$  são obtidos analiticamente neste caso, com expressões

$$\hat{\sigma}^2 = \frac{\sum_{i=1}^n (y_i - \mu)^2}{n},$$

$$I_o(\hat{\sigma}^2) = \frac{n}{2(\hat{\sigma}^2)^2},$$

$$\text{Var}(\hat{\sigma}^2) = \frac{2(\hat{\sigma}^2)^2}{n},$$

que para os dados disponíveis produzem os resultados a seguir

```
y <- c(12.1,8.7,11.3,9.2,10.5,9.7,11.6)
n <- length(y)
(MLE <- sum((y-10)^2)/n)

## [1] 1.619

H.MLE <- - n/(2*MLE^2) ; Io.MLE <- -H.MLE ; Var.MLE = 1/Io.MLE ; se.MLE <- sqrt(Var.MLE)
c(H=H.MLE, Io=Io.MLE, Var=Var.MLE, SE=se.MLE)

##      H      Io      Var      SE
## -1.3360  1.3360  0.7485  0.8652
```

As funções  $l(\sigma^2)$ ,  $U(\sigma^2)$  e  $I_o(\sigma^2)$  podem ser definidas como se segue<sup>1</sup>.

```
llfun <- function(par, mu, dados, log=TRUE){
  res <- -(length(dados)/2)*log(par) - sum((dados-mu)^2)/(2*par)
  if(!log) res <- exp(res)
  return(res)
}
Ufun <- function(par, mu, dados){
  return( -(length(dados)/2) * ((1/par) - sum((dados-mu)^2)/(n*par^2)))
}
Hfun <- function(par, mu, dados){
  return( -(length(dados)/2) * (-(1/par^2) + 2*sum((dados-mu)^2)/(n*par^3)))
}
```

A seguir verificamos os valores obtidos anteriormente com os retornados pelas funções.

<sup>1</sup>note que para maior eficiência e para evitar repetição desnecessária de cálculos chamadas das funções, um argumento da função poderia receber diretamente o valor da soma de quadrados e tamanho da amostra  $n$  no lugar dos dados.



```
## [1] 1.619
##
## $objective
## [1] -5.185

optimHess(MLEnum$maximum, llfun, dados=y, mu=10)

##          [,1]
## [1,] -1.336

-1/optimHess(MLEnum$maximum, llfun, dados=y, mu=10)

##          [,1]
## [1,] 0.7485

sqrt(-1/optimHess(MLEnum$maximum, llfun, dados=y, mu=10))

##          [,1]
## [1,] 0.8652
```

Outros métodos numéricos alternativos à otimização podem ser utilizados. Vejamos dois exemplos. O primeiro é encontrar a raiz da função escore.

```
uniroot(Ufun, interval=c(0.1, 20), dados=y, mu=10)$root
## [1] 1.619
```

Um segundo é utilizar o “tradicional” algoritmo de Newton-Raphson segundo o qual estimativas do parâmetro são atualizadas sequencialmente até convergência segundo:

$$\theta_{t+i} = \theta_i - \frac{U(\theta)}{H(\theta)}.$$

Portanto o algoritmo de Newton-Raphson exige que sejam fornecidas as funções escore e hessiana. Além disto, como o algoritmo não impõe restrição ao parâmetro, utilizamos neste caso uma transformação logarítmica  $\phi = \log(\sigma^2)$  internamente na função, uma vez que devemos impor a restrição de que  $\sigma^2 > 0$ . As funções  $U(\cdot)$  e  $H(\cdot)$  são redefinidas sob esta reparametrização e omite-se as constantes  $(-n/2)$  que se cancelam na divisão  $U(\cdot)/H(\cdot)$ . A seguir temos a definição do algoritmo em uma função e seu resultado para o conjunto de dados considerado aqui, novamente fornecendo estimativa próxima ao valor exato das expressões analíticas.

```
NR <- function(ini, dados, mu, maxit = 100, tol = 1e-8, trace=FALSE){
  l.ini <- log(ini)
  it <- 0; delta <- 1
  SQn <- sum((dados-mu)^2)/length(dados)
  U.lpar <- function(phi) (1 - SQn * exp(-phi))
  H.lpar <- function(phi) SQn * exp(-phi)
  while(it < maxit & abs(delta) > tol){
    l.par <- l.ini - U.lpar(l.ini)/H.lpar(l.ini)
    delta <- l.par - l.ini
    l.ini <- l.par; it <- it+1
    if(trace) print(c(iteração = it, par = exp(l.par)))
  }
  return(structure(c(logpar=l.par, par=exp(l.par)),
                    iteracoes = it, hessian.logpar=H.lpar(l.par)))
}
NR(2, dados=y, mu=10, trace=T)
```

```
## iteração      par
##      1.00      1.58
## iteração      par
##      2.000     1.618
## iteração      par
##      3.000     1.619
## iteração      par
##      4.000     1.619
## iteração      par
##      5.000     1.619
## logpar        par
## 0.4815 1.6186
## attr("iteracoes")
## [1] 5
## attr("hessian.logpar")
## [1] 1
```

(b) A expressão da distribuição a posteriori é obtida da forma:

$$\begin{aligned} [\sigma^2|y] &\propto [\sigma^2] \cdot L(\sigma^2; y) \\ &= (\sigma^2)^{-1} \cdot (2\pi)^{-n/2} (\sigma^2)^{-n/2} \exp \left\{ -\frac{1}{2\sigma^2} \sum_{i=1}^n (y_i - \mu)^2 \right\} \\ &\propto (\sigma^2)^{-(n/2)-1} \exp \left\{ -\frac{\sum_{i=1}^n (y_i - \mu)^2}{2\sigma^2} \right\} \end{aligned}$$

(c) A expressão anterior, vista como uma função de  $\sigma^2$ , corresponde ao núcleo de uma densidade “gama inversa” de parâmetros:

$$\alpha = \frac{n}{2} \quad \text{e} \quad \beta = \frac{2}{\sum_{i=1}^n (y_i - \mu)^2}.$$

Esta distribuição também é chamada na literatura de *qui-quadrado inversa escalonada*.

(d) Para o conjunto de dados temos que

$$\alpha = \frac{n}{2} = \frac{7}{2} = 3,5 \quad \text{e} \quad \beta = \frac{2}{\sum_{i=1}^n (y_i - \mu)^2} = \frac{2}{11,33} = 0,1765.$$

```
a.post <- length(y)/2
b.post <- 2/sum((y-10)^2)
c(a.post, b.post)

## [1] 3.5000 0.1765
```

Embora códigos para tal distribuição possam ser obtidos já implementados, vamos definindo uma função da densidade gama-inversa a partir de sua expressão. A seguir usamos a função para obter o gráfico da posteriori obtida aqui.

```
dinvgamma <- function(x, a, b, log=FALSE){
  res <- ifelse(x > 0,
    - a * log(b) - log(gamma(a)) - (a+1)*log(x) - 1/(b*x), -Inf)
  if(!log) res <- exp(res)
  return(res)
}
```

```
par(mar=c(3, 3.2, .5, .5), mgp=c(2,1,0))
curve(dinvgamma(x, a=a.post, b=b.post), from=0, to=10, n=501,
      xlab=expression(sigma^2), ylab=expression(group("[" ,paste(sigma^2,"|",y),"]"))))
```

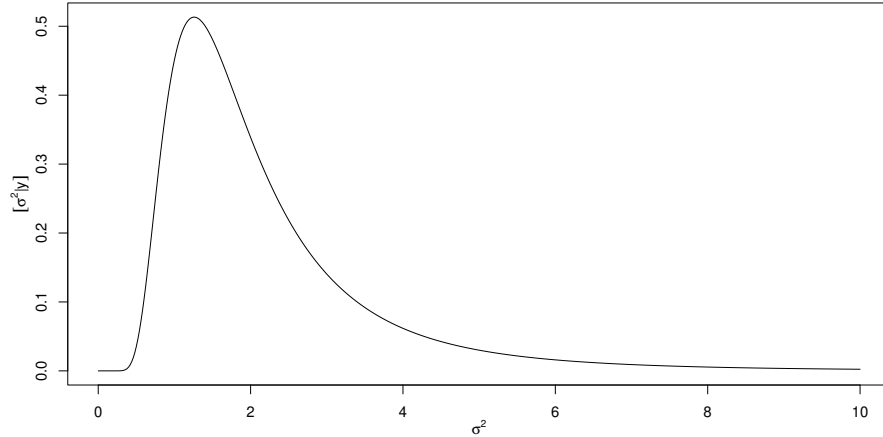


Figura 2: Densidade (gama-inversa) de  $\sigma^2$  para o exemplo.

**OBS:** A função pode ser escrita de forma computacionalmente mais adequada, em função de estatísticas da amostra e evitando cálculos redundantes.

Vamos agora considerar obter simulações da distribuição posteriori. Neste caso não vamos nos preocupar em escrever um código e vamos utilizar o seguinte resultado trivial. Se  $X \sim \text{Ga}(\alpha, \beta)$  então  $Y = 1/X \sim \text{InvGa}(\alpha, \beta)$ . Portanto, para simular de uma distribuição gama inversa basta tomar o inverso de valores simulados de uma distribuição gama com os os mesmos parâmetros. A figura 3 mostra a densidade teórica sobreposta por histograma e densidade empíricas obtidos com 10.000 amostras dos distribuição.

```
par(mar=c(3, 3.2, .5, .5), mgp=c(2,1,0))
set.seed(123)
sim <- 1/rgamma(10000, shape=a.post, scale=b.post)
hist(sim, prob=TRUE, ylim=c(0,0.5), br=c(seq(0,10, by=0.5), seq(10,60,by=2)),
     xlab=expression(sigma^2), ylab=expression(group("[" ,paste(sigma^2,"|",y),"]")),
     main="", xlim=c(0, 10))
lines(density(sim))
curve(dinvgamma(x, a=a.post, b=b.post), from=0.01, to=30, add=T, col=3, n=501)
```

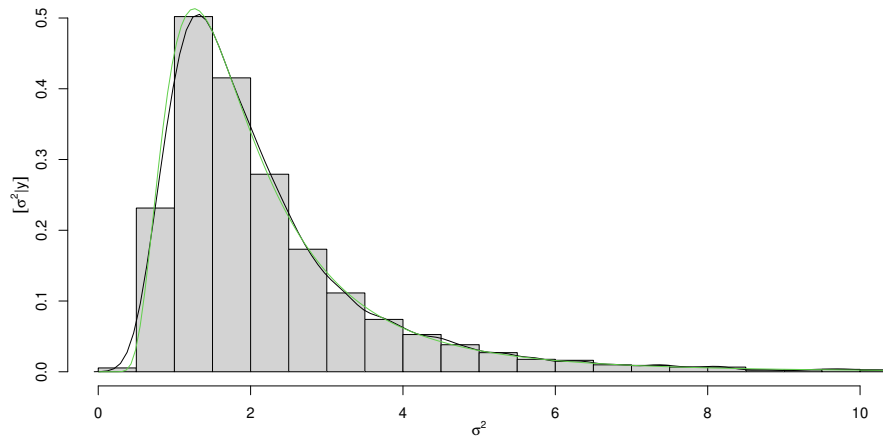


Figura 3: Histograma e densidade estimada das amostras da posteriori comparados com a expressão analítica da posteriori.

(e) i. Resumos pontuais da posteriori.

A. Média da posteriori. Neste caso se tem a expressão analítica e que portanto deve ser utilizada.

Entretanto, como em muitos casos pode não ser disponível, ilustra-se também a obtenção por integração numérica e por simulação.

- Expressão analítica

$$E[\sigma^2|y] = \frac{1}{\beta(\alpha - 1)} = 2.27$$

```
(e.post <- 1/(b.post*(a.post-1)))  
## [1] 2.266
```

- Integração numérica (a partir da definição de esperança de uma v.a.).

$$E[\sigma^2|y] = \int_0^\infty \sigma^2 f(\sigma^2|y) d\sigma^2$$

```
Epost <- function(par, ...) par * dinvgamma(par, ..., log=FALSE)  
integrate(Epost, lower=0, upper=50, a=a.post, b=b.post)  
## 2.263 with absolute error < 6.6e-06
```

- Simulação.

```
mean(sim)  
## [1] 2.28
```

B. Moda da posteriori. Assim como no caso da média a expressão analítica da moda é conhecida mas ilustra-se também a obtenção por otimização numérica e por simulação.

- Expressão analítica.

$$E[\sigma^2|y] = \frac{1}{\beta(\alpha + 1)} = 1.26$$

```
(mo.post <- 1/(b.post*(a.post+1)))  
## [1] 1.259
```

- Otimização numérica, maximizando a densidade (ou, equivalentemente, a log-densidade, o que em geral é mais estável numericamente).

```
optimize(dinvgamma, lower=0, upper=50, a=a.post, b=b.post, log=FALSE, maximum=TRUE)  
## $maximum  
## [1] 1.259  
##  
## $objective  
## [1] 0.5133  
optimize(dinvgamma, lower=0, upper=50, a=a.post, b=b.post, log=TRUE, maximum=TRUE)  
## $maximum  
## [1] 1.259  
##  
## $objective  
## [1] -0.6669
```

- Simulação. Utiliza-se aqui um algoritmo simples tomando-se o ponto de máximo de uma suavização da densidade.<sup>2</sup>

```
sim.den <- density(sim, n=1024)  
sim.den$x[which.max(sim.den$y)]  
## [1] 1.327
```

---

<sup>2</sup>veja outro algoritmo mais adiante com o uso da função `hdrcde::hdr()`.

### C. Mediana da Posteriori

- Expressão analítica: não disponível.
- Otimização numérica.

Pode-se definir uma função que retorne quantis da posteriori gamma inversa.

```
qinvgamma <- Vectorize(function(p, a, b, ...){  
  q.f <- function(x, a, b)  
    integrate(dinvgamma, lower=0, upper=x, a=a, b=b)$value - p  
  uniroot(q.f, a=a, b=b, ...)$root  
})  
(md.post <- qinvgamma(0.5, a=a.post, b=b.post, interval=c(0,50)))  
## [1] 1.785
```

Entretanto, para o cálculo de quantis neste exemplo, a definição da função anterior é desnecessária, pois, pode-se simplesmente tomar inversos dos quantis da distribuição gama.

```
1/qgamma(1-0.5, shape=a.post, scale=b.post)  
## [1] 1.785
```

Portanto desejando-se ter uma função específica para a gama-inversa, basta definir:

```
qinvgamma <- function(p, a, b, ...)  
  1/qgamma(1-p, shape = a, scale=b, ...)
```

- Simulação

```
median(sim)  
## [1] 1.794
```

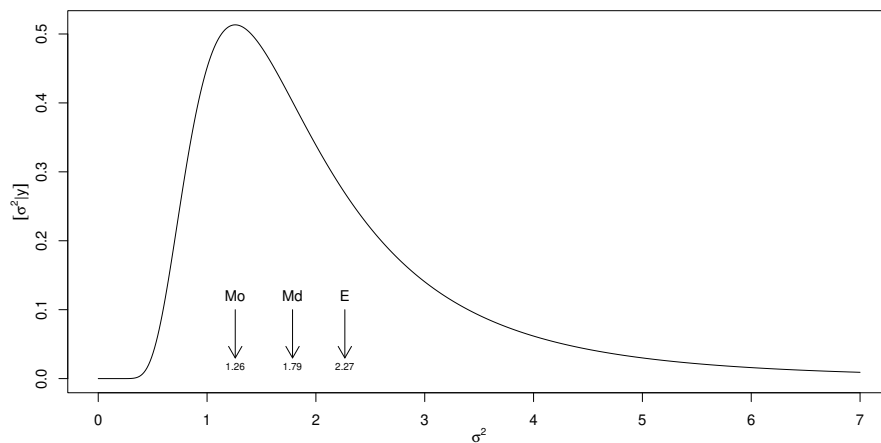


Figura 4: Média, mediana e moda na distribuição a posteriori do exemplo.

ii. Resumos intervalares (usando  $1 - \alpha = 0,95$ )

i. Intervalo de credibilidade – quantis

A. Por otimização numérica

```
(ICq <- qinvgamma(c(0.025, 0.975), a=a.post, b=b.post))  
## [1] 0.7076 6.7047
```

B. Por simulação

```
quantile(sim, prob=c(0.025, 0.975))  
## 2.5% 97.5%  
## 0.7075 6.8346
```



ii. Intervalo de credibilidade – HPD<sup>3</sup>

- A. Otimização numérica. A função a seguir é apenas um exemplo ilustrativo e pode ser escrita de outras formas (o que fica como exercício). Para rotinas mais eficientes vejam as fornecidas por pacotes especializados.

```
# Função para obter o HPD de uma função (f.d.p.) *unimodal*
# fç nao totalmente geral devido a valor superior fixado no argumento "interval"
hpdivgamma <- function(prob, a, b){
  require(rootSolve)
  moda <- 1/(b*(a+1))
  dmax <- dinvgamma(moda, a=a, b=b)
  #
  f.int <- function(corte, a, b, prob){
    f.corte <- function(x) dinvgamma(x, a=a, b=b) - (dmax - corte)
    int <- uniroot.all(f.corte, interval=c(0,100))
    p1 <- integrate(dinvgamma, lower=0, upper=int[1], a=a, b=b)$value
    p2 <- integrate(dinvgamma, lower=0, upper=int[2], a=a, b=b)$value
    return(((p2-p1) - prob)^2)
  }
  corte.int <- optimize(f.int, interval=c(0, dmax), a=a, b=b, prob=prob)
  f.corte <- function(x)
    dinvgamma(x, a=a, b=b, log=FALSE) - (dmax - corte.int$minimum)
  int <- uniroot.all(f.corte, interval=c(0,100))
  return(int)
}
(IChpd <- hpdivgamma(0.95, a=a.post, b=b.post))
## [1] 0.4761 5.2770
integrate(dinvgamma, lower=IChpd[1], upper=IChpd[2], a=a.post, b=b.post)
## 0.95 with absolute error < 8.1e-08
```

- B. HDR obtido a partir de simulações da posteriori.

```
require(hdrcde)
## baseado nas amostras
hdr(sim, prob=95)$hdr
##      [,1] [,2]
## 95% 0.3323 5.318
## baseado em uma aproximação discreta da densidade
par.vals <- seq(0, 30, length=2000)
d.vals <- dinvgamma(par.vals, a=a.post, b=b.post)
hdr(den=list(x=par.vals, y=d.vals), prob=95)$hdr
##      [,1] [,2]
## 95% 0.4848 5.073
```

Alguns exemplos de funções disponíveis em outros pacotes.

```
require(TeachingDemos)
emp.hpd(sim)
hpd(qinvgamma, a=a.post, b=b.post)
detach(package:TeachingDemos)
##
require(BEST)
```

<sup>3</sup>diversos pacotes do R fornecem algoritmos para cálculos de intervalos HPD. Em geral são fornecidas funções para obtenção de intervalos HPD a partir de um objeto como amostras (simulação) da posteriori, mas alguns pacotes fornecem também funções para cálculo a partir de posteriores na forma de função.

```

hdi(sim, credMass=0.95)
hdi(qinvgamma, credMass=0.95, a=a.post, b=b.post)
detach(package:BEST)
##
require(LaplacesDemon)
p.interval(sim)
detach(package:LaplacesDemon)
##
require(emdbook)
tcredint("invgamma", list(a=a.post, b=b.post)) # problema aqui
detach(package:emdbook)
#
require(coda)
HPDinterval(as.mcmc(sim))
detach(package:coda)

```

Pode-se verificar a propriedade de que o IC-HPD é mais curto do que o de quantis. A diferença torna-se mais acentuada quanto mais assimétrica for a distribuição.

```

diff(ICq)
## [1] 5.997
diff(IChpd)
## [1] 4.801

```

O gráfico da função com os dois tipos de intervalos mostra que eles são bem distintos neste caso.

```

par(mar=c(3, 3.2, .5, .5), mgp=c(2,1,0))
curve(dinvgamma(x, a=a.post, b=b.post), from=0, to=8, n=501,
      xlab=expression(sigma^2), ylab=expression(group("[",paste(sigma^2,"|",y),"]")))
segments(ICq, 0, ICq, dinvgamma(ICq, a=a.post, b=b.post), col=2, lty=2)
segments(IChpd, 0, IChpd, dinvgamma(IChpd, a=a.post, b=b.post))
legend("topright", c("HPD", "quantis"), col=c(1,2), lty=c(1,2))

```

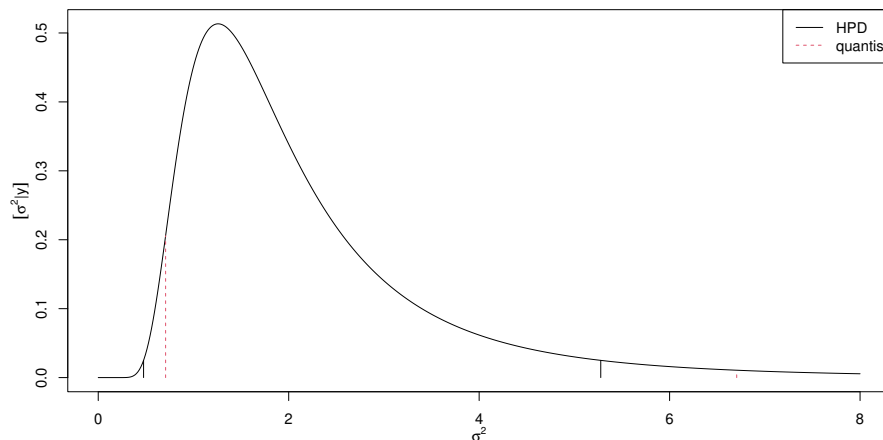


Figura 5: Comparação de intervalos de quantis e HDR.

**Gráficos** da priori, posteriori e verossimilhança.

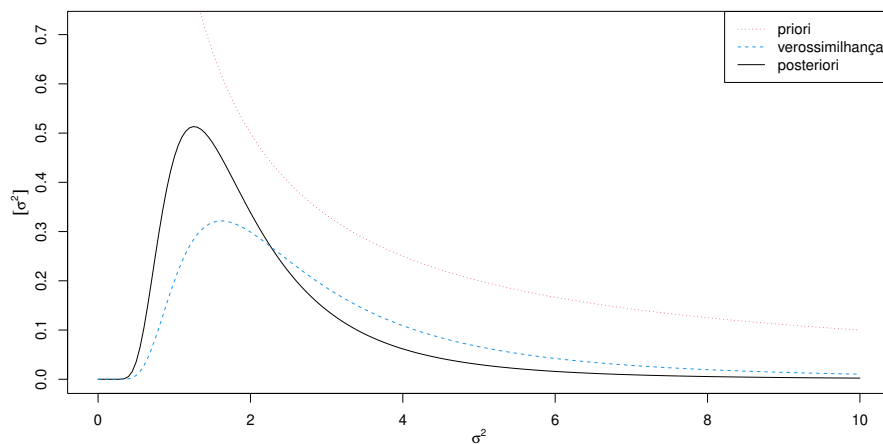
Para incluir o gráfico da verossimilhança na mesma escala da priori e posteriori é necessário utilizar a função padronizada (de forma a integrar 1). Há duas formas que serão ilustradas a seguir: (i) reconhecendo o núcleo de alguma distribuição conhecida (quando possível), (ii) integrando explicitamente a verossimilhança (analítica ou numericamente).

Neste exemplo a opção (i) é possível pois, para a verossimilhança, tem-se que:

$$L(\sigma^2|y) \propto IG(a = (n/2) - 1, b = 2/\sum_{i=1}^n (y_i - \mu)^2).$$

```
post <- function(dados, mu, plot=TRUE, from, to){
  a <- length(dados)/2
  SQ <- sum((dados-mu)^2)
  b <- 2/SQ
  MLE <- SQ/length(dados)
  if(plot){
    par.seq <- seq(from, to, length=201)
    vero.seq <- dinvgamma(par.seq, a=a-1, b=b)
    post.seq <- dinvgamma(par.seq, a=a, b=b)
    max.seq <- max(c(max(vero.seq), max(post.seq)))
    plot(par.seq, post.seq, type="l", ylim=c(0, 1.4*max.seq),
         xlab=expression(sigma^2), ylab=expression(group("[",sigma^2,"]")))
    lines(par.seq, vero.seq, lty=2, col=4)
    lines(par.seq, 1/par.seq, lty=3, col=2)
    legend("topright", c("priori", "verossimilhança", "posteriori"),
         lty=c(3,2,1), col=c(2,4,1))
  }
  return(c(a=a, b=b, MLE=MLE, media=1/(b*(a-1)), moda=1/(b*(a+1))))
}
```

```
par(mar=c(3, 3.2, .5, .5), mgp=c(2,1,0))
post(dados=y, mu=10, from=0, to=10)
```



```
##      a      b    MLE  media  moda
## 3.5000 0.1765 1.6186 2.2660 1.2589
```

Figura 6: Priori, verossimilhança e posteriori para o exemplo.

Para (ii) a verossimilhança integrada (numericamente) pode ser obtida da forma a seguir, que pode ser usada mesmo que a expressão da verossimilhança não tenha uma forma proporcional à de uma distribuição de probabilidades conhecida.

```
llfun.int <- function(par, ...){
  C <- integrate(llfun, low=0, up=50, ..., log=FALSE)$value
  res <- llfun(par, ..., log=FALSE)/C
  attr(res, "C") <- C
  return(res)
}
integrate(llfun.int, mu=10, dados=y, lower=0, upper=50)

## 1 with absolute error < 2.9e-06
```

Verificando os cálculos dos valores da densidade e da constante normalizadora temos:

O gráfico a seguir mostra que (i) e (ii) são equivalentes.

```
par(mar=c(3, 3.2, .5, .5), mgp=c(2,1,0))
curve(llfun.int(x, mu=10, dados=y), from=0, to=10, type="b", pch=19,
      xlab=expression(sigma^2), ylab="verossimilhança integrada")
curve(dinvgamma(x, a=a.post-1, b=b.post), from=0, to=10, col=2, add=T)
```

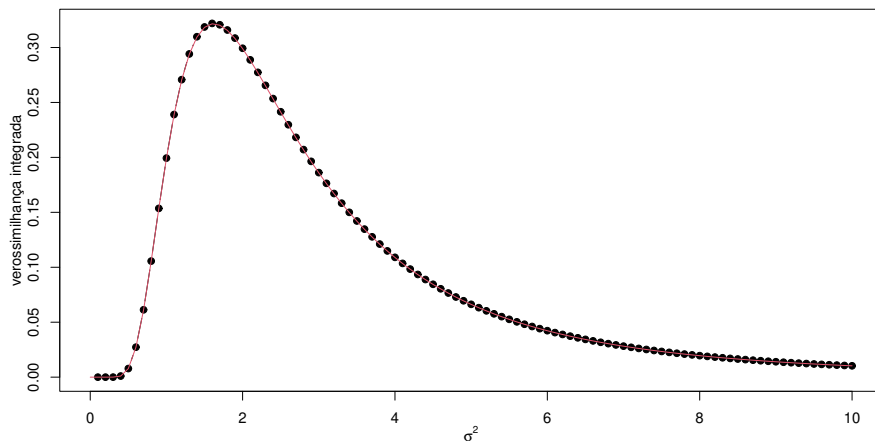


Figura 7: Verossimilhanças integradas obtida de duas formas diferentes: (i) por integração numérica (pontos) (ii) pela expressão da gama-inversa (linha).

**Aproximação normal da posteriori** Sob certas condições, a posteriori pode ser aproximada por uma distribuição normal com média igual a moda da posteriori e variância (inversamente) relacionada ao Hessiano. Mais especificamente, obtém-se a log-densidade da posteriori e dela se obtém o máximo (moda) e o valor do hessiano avaliado neste ponto de máximo. Em certos casos particulares estes valores podem ser obtidos analiticamente, porém, de forma mais geral são obtidos numericamente. A aproximação é boa quando (i) o parâmetro é interior ao espaço paramétrico, para valores do parâmetro na proximidade da moda e para grandes tamanhos de amostra.

$$\begin{aligned}
 [\sigma^2|y] &\propto (\sigma^2)^{-(n/2)-1} \exp \left\{ -\frac{\sum_{i=1}^n (y_i - \mu)^2}{2\sigma^2} \right\} \\
 \log[\sigma^2|y] &\propto -(n/2) - 1 \log(\sigma^2) - \frac{\sum_{i=1}^n (y_i - \mu)^2}{2} (\sigma^2)^{-1} \\
 \frac{d \log[\sigma^2|y]}{d\sigma^2} &\propto -(n/2) - 1 (\sigma^2)^{-1} + \frac{\sum_{i=1}^n (y_i - \mu)^2}{2} (\sigma^2)^{-2} \\
 H(\sigma^2) = \frac{d^2 \log[\sigma^2|y]}{d(\sigma^2)^2} &\propto -(-(n/2) - 1) (\sigma^2)^{-2} - \sum_{i=1}^n (y_i - \mu)^2 (\sigma^2)^{-3}
 \end{aligned}$$

E a variância para a aproximação normal é dada por  $H(\hat{\sigma}^2) = -2.84$ , em que  $\hat{\sigma}^2 = 1/(\beta(\alpha + 1)) = 1.26$  é a moda da posteriori. Portanto a variância a aproximação normal é da posteriori:

$$[\sigma^2|y] \sim N(\hat{\sigma}^2, -H^{-1}(\hat{\sigma}^2)) \sim N(1.26, 0.352)$$

Neste caso, ambos,  $\hat{\sigma}^2$  e  $-H^{-1}(\hat{\sigma}^2)$  puderam ser obtidos analiticamente. Caso isto não fosse possível aproximação obtidas numericamente podem ser obtidas pela maximização da log-posteriori (ou minimização do negativo da log-posteriori).

```
neglogpost <- function(par, y, mu)
  (0.5*length(y)+1) * log(par) + 0.5 * sum((y-mu)^2)/par
(APnum <- optim(1, neglogpost, y=y, mu=10, method="L-BFGS-B", lower=0, hessian=TRUE))[c("par", "hessian")]

## $par
## [1] 1.259
##
## $hessian
##      [,1]
## [1,] 2.839

1/APnum$hessian

##      [,1]
## [1,] 0.3522
```

Uma forma alternativa mais simples e direta de definir no R a log-posteriori (a uma constante), sem utilizar as derivações algébricas das expressões, é dada a seguir.

```
neglogpost <- function(par, y, mu)
  -(sum(dnorm(y, mean=mu, sd=sqrt(par), log=TRUE)) + log(1/par))
```

```
par(mar=c(3, 3.2, .5, .5), mgp=c(2,1,0))
curve(dinvgamma(x, a=a.post, b=b.post), from=0, to=10, n=501, ylim=c(0, 0.7),
      xlab=expression(sigma^2), ylab=expression(group("[",paste(sigma^2,"|",y),"]")))
curve(dnorm(x, m=mo.post, sd=sqrt(-1/H)), from=0, to=10, n=501, col=2, add=T, lty=2)
legend("topright", c("posteriori","aprox. normal"), lty=c(1,2), col=c(1,2))
```

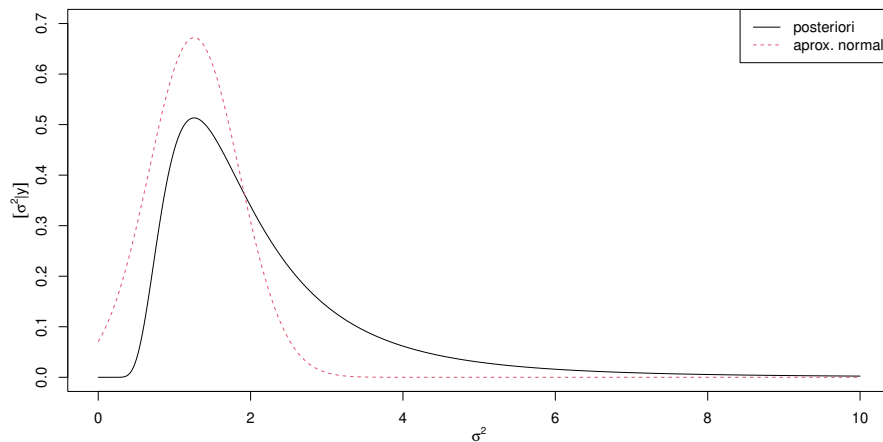


Figura 8: Densidade a posteriori e a respectiva aproximação normal.

No caso de se usar estimativas numéricas, a densidade da normal fica como no comando a seguir. Note que não toma-se aqui o negativo do hessiano pois, no código anterior, foi minimizado o negativo da log-posteriori.

```
dnorm(x, mean=APnum$par, sd=sqrt(1/APnum$hessian))
```

**Amostragem (MCMC)** Como já visto anteriormente a posteriori do exemplo possui forma analítica conhecida e amostras da posteriori podem ser obtidas diretamente, tomando-se os inversos de valores simulados da distribuição gamma correspondente. Entretanto, a título de ilustração, será exemplificado a seguir um algoritmo de *Cadeias de Markov via Monte Carlo* (MCMC) para obter amostras da posteriori.

O algoritmo de Metropolis-Hastings para amostrar de uma distribuição  $\pi(\theta)$  segue os seguintes passos:

1. Toma-se um valor inicial  $\theta_0$  (arbitrário) para o parâmetro.
2. Escolhe-se uma função  $q(\theta_*|\theta_{t-1})$  para sortear um novo valor  $\theta_*$  “proposto” para o parâmetro.
3. Geram-se valores em uma “cadeia” (*suficientemente grande*) segundo as regras:
  - (a) para cada valor proposto calcula-se  $\alpha = \min \left\{ 1, \frac{\pi(\theta_*)q(\theta_{t-1}|\theta_*)}{\pi(\theta_{t-1})q(\theta_*|\theta_{t-1})} \right\}$ ,
  - (b) aceita-se que a cadeia mova-se para o valor proposto com probabilidade  $\alpha$ , ou seja, sorteia-se  $U \sim U(0, 1)$  e

$$\theta_t = \begin{cases} \theta_* & \text{se } u < \alpha \\ \theta_{t-1} & \text{se } u \geq \alpha \end{cases}.$$

Uma versão simplificada deste algoritmo (chamada de algoritmo de Metrópolis) é obtida quando  $q(\cdot)$  é simétrica. Neste caso  $q(\theta_*|\theta_{t-1}) = q(\theta_{t-1}|\theta_*)$  e o cálculo de  $\alpha$  se reduz a

$$\alpha = \min \left\{ 1, \frac{\pi(\theta_*)}{\pi(\theta_{t-1})} \right\}.$$

A distribuição  $\pi(\theta)$  é a distribuição objetivo, da qual se deseja simular, no caso, a posteriori  $[\sigma^2|y]$ . É importante notar que a função não precisa ser completamente especificada, ou seja, pode ser conhecida somente a uma contante de proporcionalidade uma vez que tal constante é cancelada no cálculo de  $\alpha$ . Portanto, para simular de uma posteriori precisamos somente definir em  $\pi(\cdot)$  a função obtida por

$$[\sigma^2|y] \propto [\sigma^2] \cdot L(\sigma^2; y).$$

Na definição da função usaremos agora os argumentos **n** e **SQ** para evitar recalcular quantidades fixas a cada iteração.<sup>4</sup> Usa-se ainda o fato que  $\frac{\pi(\theta_*)}{\pi(\theta_{t-1})} = \exp[\log(\pi(\theta_*) - \pi(\theta_{t-1}))]$ <sup>5</sup>.

```
dpost <- function(par, n, SQ)
  ifelse(par > 0, exp(-(0.5*n+1) * log(par) - 0.5 * SQ/par), 0)
logdpost <- function(par, n, SQ)
  ifelse(par > 0, -(0.5*n+1) * log(par) - 0.5 * SQ/par, -Inf)
```

O algoritmo a seguir utiliza uma  $q(\cdot)$  simétrica uniforme ao redor do valor atual do parâmetro tal que

$$\theta_* \sim U[\theta_{t-1} - a, \theta_{t-1} + a].$$

```
MCMC <- function(N, init, n, SQ, a){
  sim <- numeric(N)
  sim[1] <- init
  aceita <- 0
  for(i in 2:N){
    nv <- runif(1, sim[i-1]-a, sim[i-1]+a)
    alpha <- min(1, exp(logdpost(nv, n=n, SQ=SQ)-logdpost(sim[i-1], n=n, SQ=SQ)))
    if(runif(1) < alpha) {sim[i] <- nv; aceita <- aceita+1}
    else sim[i] <- sim[i-1]
  }
```

<sup>4</sup>Funções definidas anteriormente como a de verossimilhança também poderiam ser definidas desta forma para maior eficiência computacional.

<sup>5</sup>Outras simplificações poderiam ser obtidas para este exemplo considerando a razão para o cálculo de  $\alpha$ .

```

}
attr(sim, "taxa aceitação") <- aceita/(N-1)
return(sim)
}

```

Rodando o algoritmo para o exemplo temos os resultados a seguir.

```

n.y <- length(y)
SQ.y <- sum((y-10)^2)
sim.mcmc <- MCMC(1000, init=1, n=n.y, SQ=SQ.y, a=0.2)
attributes(sim.mcmc)

## $`taxa aceitação`
## [1] 0.9419

```

```

par(mar=c(3, 3.2, .5, .5), mgp=c(2,1,0))
plot(sim.mcmc, ty="l", xlab="simulação", ylab=expression(sigma^2[sim]))

```

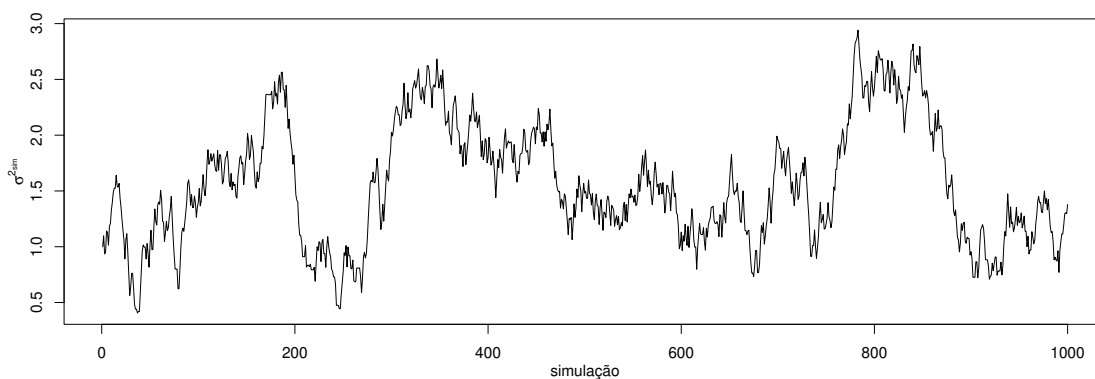


Figura 9: Sequência de valores em uma amostras da posteriori obtida por um algoritmo MCMC.

A figura que sobrepõe a densidade empírica mostra que esta amostra é claramente inadequada!

```

par(mar=c(3, 3.2, .5, .5), mgp=c(2,1,0))
curve(dinvgamma(x, a=a.post, b=b.post), from=0, to=10, n=501, ylim=c(0, 0.9),
      xlab=expression(sigma^2), ylab=expression(group("[",paste(sigma^2,"|",y),"]")))
hist(sim.mcmc, prob=T, add=T)
lines(density(sim.mcmc), col=2)

```

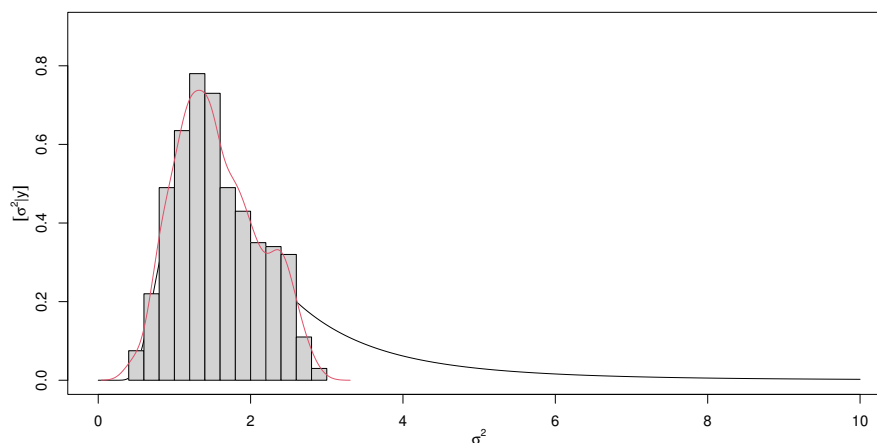


Figura 10: Histograma e densidade estimada da amostra MCMC comparadas com a posteriori analítica.

A mensagem é clara, embora simples, o algoritmo MCMC requer cuidados na sua implementação. Entre eles destacam-se: (i) é necessário que a distribuição estacionária seja atingida o que em geral não é válido para valores iniciais da cadeia que devem ser descartados sendo considerados um período de “aquecimento” da cadeia (*burn-in*); (ii) a distribuição  $q(\cdot|\cdot)$  deve ser calibrada (no exemplo pela escolha do valor argumento **a**) para fornecer uma taxa de aceitação compatível com o algoritmo (no exemplo seria por volta de 30%); (iii) as amostras podem ser muito correlacionadas o que requer um maior número de valores a serem gerados ( $N$ ). Além disto, pode-se armazenar apenas um a cada tantos valores gerados (por exemplo 1 a cada 10) o que reduz a memória computacional utilizada para armazenamento e a autocorrelação dos valores a serem armazenados. A este procedimento denomina-se *raleamento* (*thinning*); (iv) uma parametrização adequada pode assegurar uma melhor convergência, no exemplo poderia-se ter um melhor resultado com  $\log(\sigma^2)$ . Neste último caso os valores obtidos na cadeia podem ser diretamente transformados ao final para a parametrização desejada para inferências. Com estes pontos em mente o algoritmo MCMC anterior deve ser adaptado e calibrado (por tentativa e erro na especificação de **a** para atingir a taxa aceitação recomendada. Vamos rodar a cadeia novamente considerando apenas (i), (ii) e (iii). Após alguns tentativas obtivemos a rodada a seguir.

```
sim.mcmc <- MCMC(110000, init=1, n=n.y, SQ=SQ.y, a=5)
attributes(sim.mcmc)

## $`taxa aceitação`
## [1] 0.2998

sim.mcmc <- (sim.mcmc[-(1:10000)])[(1:10000)*10]
```

```
## thi
```

```
par(mar=c(3, 3.2, .5, .5), mgp=c(2,1,0))
par(mfrow=c(1,2))
plot(sim.mcmc, ty="l", xlab="simulação", ylab=expression(sigma^2[sim]))
curve(dinvgamma(x, a=a.post, b=b.post), from=0, to=10, n=501, ylim=c(0, 0.7),
      xlab=expression(sigma^2), ylab=expression(group("[" ,paste(sigma^2,"|",y),"]")))
hist(sim.mcmc, prob=T, add=T, br=40)
lines(density(sim.mcmc), col=2)
```

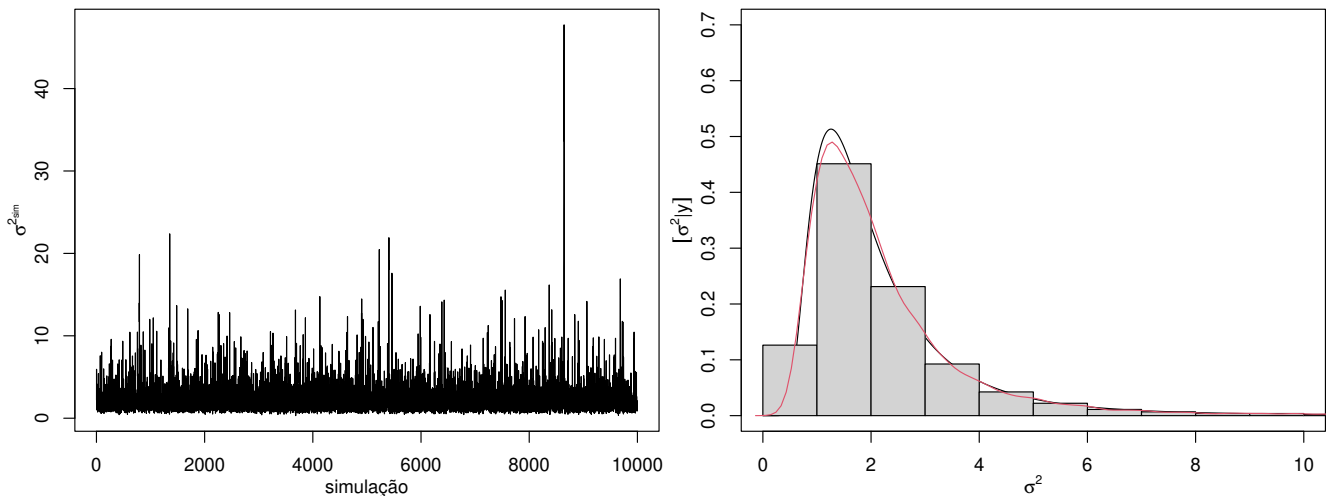


Figura 11: Novos resultados obtidos modificando opções no algoritmo MCMC.

Os resultados com uma amostra maior, descartando amostras iniciais, tomando um valor a cada 10 e com uma taxa de aceitação adequada para o algoritmo são claramente melhores. Melhorias adicionais do algoritmo anterior ficam como exercício neste momento.

Existem ainda na literatura diversos “testes convergência” que visam verificar se há evidências de que a cadeia tenha atingido seu estado estacionário. Uma prática recomendada é obter não apenas uma, mas múltiplas cadeias o que assegura diagnósticos de convergência mais confiáveis. OA obtenção de múltiplas cadeias é de fato necessária para alguns testes de convergência.



## Reparametrização

Tanto na análise de verossimilhança, quanto na aproximação normal da posteriori é vantajoso, para a qualidade das aproximações que a verossimilhança e a posteriori sejam aproximadamente simétricas e, se possível, com curvas próximas às correspondentes da distribuição normal. Tal fato também beneficia o desempenho dos algoritmos numéricos. Muitas vezes é possível se obter uma melhor aproximação através da alguma reparametrização do modelo.

Vamos considerar, no exemplo em questão, a reparametrização  $\phi = \log(\sigma^2)$  (outra reparametrização comumente utilizada seria  $\phi = \log(\sigma)$ ).

As função de verossimilhança, escores e hessiana, como funções de  $\phi$  são dadas a seguir.

$$\begin{aligned} L(\phi = \log(\sigma^2)|y) &= \prod_{i=1}^n \frac{1}{\sqrt{2\pi e^\phi}} \exp\left\{-\frac{1}{2e^\phi}(y_i - \mu)^2\right\} \\ &= (2\pi)^{-n/2} e^{-(n/2)\phi} \exp\left\{-\frac{1}{2e^\phi} \sum_{i=1}^n (y_i - \mu)^2\right\} \\ l(\phi; y) = \log\{L(\phi; y)\} &= -(n/2)[\log(2\pi) + \phi + \frac{\sum_{i=1}^n (y_i - \mu)^2}{n} e^{-\phi}] \\ U(\phi) = \frac{dl(\phi; y)}{d\phi} &= -(n/2)[1 - \frac{\sum_{i=1}^n (y_i - \mu)^2}{n} e^{-\phi}] \\ H(\phi) = \frac{d^2l(\phi; y)}{d(\phi)^2} &= -\frac{\sum_{i=1}^n (y_i - \mu)^2}{2} e^{-\phi} \end{aligned}$$

O valor da verossimilhança maximizada é o mesmo, bem como o valor da função para cada  $\phi$  é igual ao da função para o  $\sigma^2$  correspondente, conforme princípio da invariância da verossimilhança. A função de verossimilhança escrita anteriormente pode ser facilmente adaptada para permitir a opção de se usar ou não a forma reparametrizada.

```
(MLE <- sum((y-10)^2)/length(y))

## [1] 1.619

vero <- function(par, mu, dados, log=TRUE, repar=FALSE){
  if(repar) par <- exp(par)
  res <- -(length(dados)/2)*log(par) - sum((dados-mu)^2)/(2*par)
  if(!log) res <- exp(res)
  res
}
```

Os códigos a seguir comparam os resultados sem e com reparametrização.

```
## sem reparametrização
(MLEnum <- optimize(vero, interval=c(0, 10), mu=10, dados=y, log=TRUE, maximum=TRUE))

## $maximum
## [1] 1.619
##
## $objective
## [1] -5.185

(MLEnum <- optim(1, vero, mu=10, dados=y, log=TRUE, method="Brent",
  lower=0, upper=100, control=list(fnscale=-1), hessian=TRUE))

## $par
## [1] 1.619
##
## $value
```

```

## [1] -5.185
##
## $counts
## function gradient
##      NA      NA
##
## $convergence
## [1] 0
##
## $message
## NULL
##
## $hessian
##      [,1]
## [1,] -1.336

## com reparametrização
(MLEnumR <- optimize(vero,interval=c(-20, 20), mu=10, dados=y, log=TRUE, maximum=TRUE, repar=TRUE))

## $maximum
## [1] 0.4816
##
## $objective
## [1] -5.185

exp(MLEnumR$maximum)

## [1] 1.619

(MLEnumR <- optim(1, vero, mu=10, dados=y, log=TRUE, repar=TRUE, method="Brent",
                 lower=-20, upper=20, control=list(fnscale=-1), hessian=TRUE))

## $par
## [1] 0.4815
##
## $value
## [1] -5.185
##
## $counts
## function gradient
##      NA      NA
##
## $convergence
## [1] 0
##
## $message
## NULL
##
## $hessian
##      [,1]
## [1,] -3.5

c(MLE, MLEnum$par, exp(MLEnum$par))

## [1] 1.619 1.619 1.619

```

As funções de verossimilhança estão na figura a seguir. Note a invariância nos valores do eixo- $Y$  dos valores da verossimilhança.

```
par(mar=c(3, 3.2, .5, .5), mgp=c(2,1,0))
par(mfrow=c(1,2))
curve(vero(x, mu=10, dados=y, log=TRUE), from=0.55, to=9,
      xlab=expression(sigma^2), ylab=expression(l(sigma^2)))
abline(v=c(MLE,MLEnum$par), col=c(8,1), lwd=c(6,1))
curve(vero(x, mu=10, dados=y, log=TRUE, reparam=TRUE), from=log(0.55), to=log(9),
      xlab=expression(phi == log(sigma^2)), ylab=expression(l(phi)))
abline(v=c(log(MLE),MLEnumR$par), col=c(8,1), lwd=c(6,1))
```

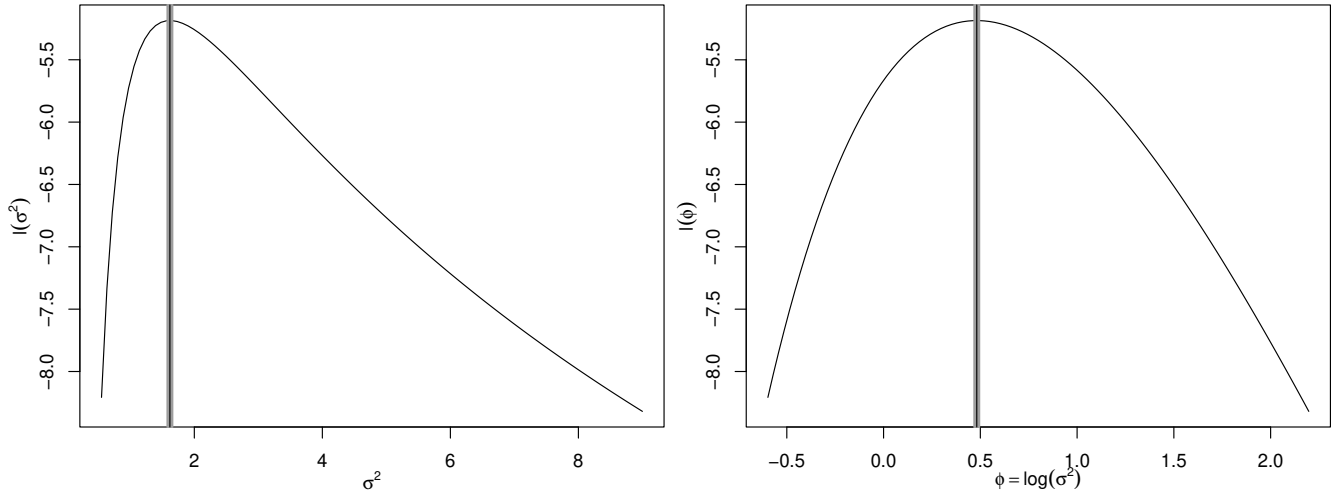


Figura 12: Funções de verossimilhança parametrizadas com  $\sigma^2$  (esquerda) e  $\phi = \log(\sigma^2)$  (direita).

Transformações podem levar a funções de verossimilhança que possuem melhores aproximações quadráticas. Além disto, a aproximação na parametrização original pode ser melhor obtida transformando-se de volta os valores a partir da aproximação quadrática de função reparametrizada. Na figura a seguir, o gráfico da esquerda mostra a função de verossimilhança de  $\phi$  sua aproximação quadrática. A gráfico da direita mostra a função de verossimilhança de  $\sigma^2$ , a sua aproximação quadrática como obtida anteriormente e a aproximação de  $l(\sigma^2)$  obtida a partir da aproximação de  $l(\phi)$ . Esta última aproximação é claramente superior. Em resumo, o ideal é sempre usar a função de verossimilhança e evitar se possível o uso de aproximações. Entranto, se for necessário utilizar aproximações deve-se aproximar a verossimilhança em uma parametrização conveniente, que forneça uma verossimilhança aproximadamente simétrica e quadrática e, a partir desta aproximação as funções aproximadas para outras parametrizações podem ser obtidas diretamente, pela invariância da verossimilhança, apenas transformando os valores do parâmetro.

```
Hfun.phi <- function(par, dados, mu){- (sum((dados-mu)^2)/2) * exp(-par)}
logvero.approx.phi <- function(par, dados, mu, est){
  vero(est, dados=dados, mu=mu, reparam=TRUE) + 0.5 * (par - est)^2 * Hfun.phi(est, dados=dados, mu=mu)
}
```

No contexto bayesiano as reparametrizações seguem o teorema de transformação de variáveis. Revisando, se uma v.a.  $X$  possui densidade  $f_X(x)$ , então a v.a.  $Y = h(X)$ , sendo  $h(\cdot)$  uma função monótona, tem densidade

$$f_Y(y) = f_X(h^{-1}(y)) \cdot \left| \frac{dh^{-1}(y)}{dy} \right|.$$

Para a expressão da posteriori de  $\phi$  consideramos que a mudança de variável  $\phi = h(\sigma^2) = \log(\sigma^2)$  e, equivalentemente  $\sigma^2 = h^{-1}(\phi) = e^\phi$  é uma transformação segundo uma função monótona. Aplicando-se o teorema de

```

par(mar=c(3, 3.2, .5, .5), mgp=c(2,1,0))
par(mfrow=c(1,2))
curve(vero(x, mu=10, dados=y, log=TRUE, repar=TRUE), from=log(0.55), to=log(8.5),
      xlab=expression(phi == log(sigma^2)), ylab=expression(l(phi)))
curve(logvero.approx.phi(x, dados=y, mu=10, est=log(MLE)), from=log(0.55), to=log(8.5),
      xlab=expression(phi == log(sigma^2)), ylab=expression(l(phi)), add=T, col=4, lty=3)
legend("topright", c("verossimilhança", "aprox. quad."), lty=c(1,3), col=c(1,4))
curve(llfun(x, mu=10, dados=y, log=TRUE), from=0.55, to=8.5,
      xlab=expression(sigma^2), ylab=expression(l(sigma^2)))
curve(llapprox(x, dados=y, mu=10), from=0.55, to=8.5, add=T, col=2, lt=2)
sigma2.vals <- seq(0.5, 10, l=501)
lines <- lines(sigma2.vals, logvero.approx.phi(log(sigma2.vals), dados=y, mu=10, est=log(MLE)),
               lty=3, col=4)
legend("topright", c("verossimilhança",
                     expression(paste("aprox. quad.", sigma^2)),
                     expression(paste("aprox. quad.", phi))), lty=1:3, col=c(1,2,4))

```

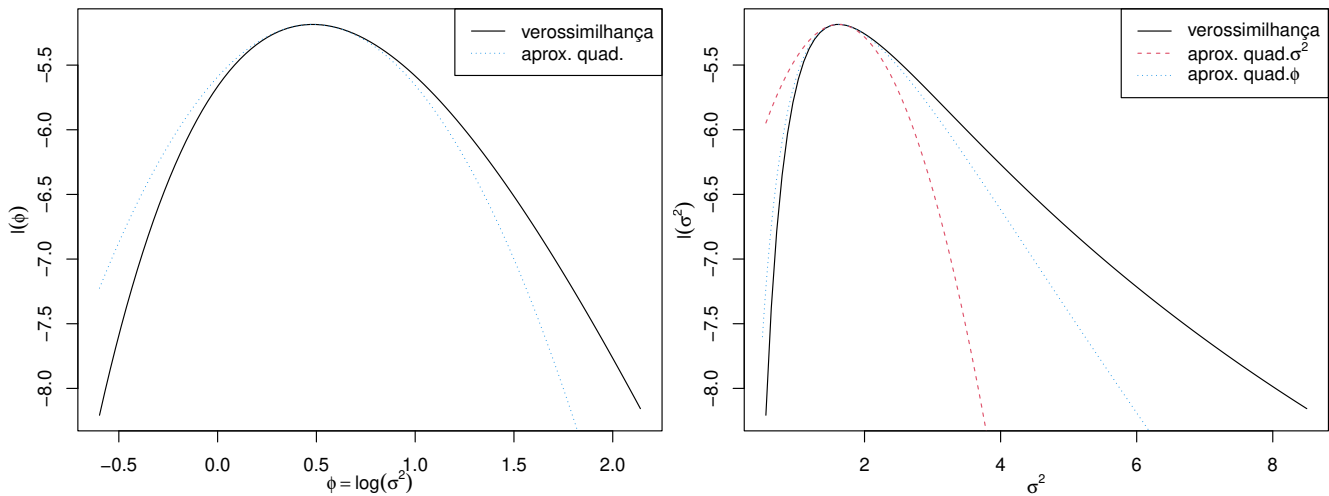


Figura 13: Esquerda: verossimilhança de  $\phi$  e respectiva aproximação quadrática. Direita: verossimilhança de  $\sigma^2$  e aproximações quadráticas obtidas a partir de  $l(\sigma^2)$  e de  $l(\phi)$ .

transformação de variáveis aleatórias, a densidade da priori tem a expressão

$$\begin{aligned}
 f(\phi) &= f(h^{-1}(\phi)) \left| \frac{dh^{-1}(\pi)}{d\phi} \right| \\
 &\propto \frac{1}{e^\phi} e^\phi \\
 &\propto 1,
 \end{aligned}$$

ou seja, a priori (não normalizada, imprópria) é uma uniforme em toda reta real. A posteriori (não normalizada) tem a expressão,

$$f(\phi|y) \propto e^{-\frac{n}{2}\phi} \exp \left\{ -\frac{\sum_i (y_i - \mu)^2}{2} e^{-\phi} \right\},$$

e o gráfico pode ser obtido como a seguir. Comparado com o anteriormente mostrado para  $\sigma^2$  é nítido o “melhor” (mais simétrico e próximo da normal) comportamento da posteriori sob a reparametrização.

```

lpstphi <- function(phi, dados, mu, log=TRUE){
  n <- length(dados)
  SQ <- sum((dados-mu)^2)
  res <- -(n/2)*(phi + (SQ/n) * exp(-phi))
}

```

```

if(!log) res <- exp(res)
return(res)
}

```

Esta função não é uma densidade, pois não é normalizada, ou seja, integrando 1 em seu domínio.

```

integrate(lpostphi, lower=-10, upper=10, dados=y, mu=10, log=F)

## 0.00768 with absolute error < 2.4e-05

```

A distribuição normalizada é obtida calculando o denominador do Teorema de Bayes,  $[Y] = \int [Y|\phi][\phi]d\phi$ . No exemplo este termo é

$$\frac{(\sum_{i=1}^n (y_i - \mu)^2)^{n/2}}{\Gamma(n/2)}$$

que facilmente obtido, resolvendo a integral, ou, de forma mais fácil, tomando-se os termos constantes na densidade de  $\sigma^2$ . A função para  $[\phi|y]$  pode ser definida como forma a seguir.

```

dpostphi <- function(phi, dados, mu, log=FALSE, cte=TRUE){
  n <- length(dados)
  SQ <- sum((dados-mu)^2)
  res <- -(n/2)*(phi + (SQ/n) * exp(-phi))
  if(cte) res <- res + (n/2)*log(SQ/2) - log(gamma(n/2))
  if(!log) res <- exp(res)
  return(res)
}
integrate(dpostphi, lower=-10, upper=10, dados=y, mu=10, cte=TRUE)

## 1 with absolute error < 3.3e-05

```

Por simplicidade e generalidade, vamos aqui utilizar uma solução numérica que pode ser utilizado caso a constante normalizadora correspondente a  $[Y]$  não possa ser obtida em forma fechada. Neste caso a função de densidade pode ser definida como a seguir.

```

dpostphiN <- function(phi, ...){
  CTE <- integrate(lpostphi, -Inf, Inf, ..., log=FALSE)$value
  return(lpostphi(phi, ..., log=FALSE)/CTE)
}
integrate(dpostphiN, low=-Inf, up=Inf, dados=y, mu=10)

## 1 with absolute error < 9.5e-07

```

Para obter a aproximação normal da posteriori neste exemplo, é possível obter expressões analíticas para a moda e hessiano como se segue, em que  $\hat{\sigma}^2 = \sum_i (y_i - \mu)^2/n$ :

$$\begin{aligned} \log(f(\phi|y)) &\propto -\frac{n}{2}[\phi + \hat{\sigma}^2 e^{-\phi}] \\ \frac{d \log(f(\phi|y))}{d\phi} &\propto -\frac{n}{2}[1 - \hat{\sigma}^2 e^{-\phi}] \\ \frac{d \log(f(\phi|y))}{d\phi} &\propto -\frac{n}{2}\hat{\sigma}^2 e^{-\phi} \\ \hat{\phi} &= \log(\hat{\sigma}^2) \\ H(\hat{\phi}) &= -\frac{n}{2}. \end{aligned}$$

Para os dados o exemplo em questão, temos os seguintes valores:

```

par(mar=c(3, 3.2, .5, .5), mgp=c(2,1,0))
par(mfrow=c(1,2))
curve(lpostphi(x, dados=y, mu=10, log=F), from=-2, to=3, xlab=expression(phi),
      ylab=expression(group("[",paste(phi,"|",y),"]")))
curve(dpostphi(x, dados=y, mu=10, log=F, cte=T), from=-2, to=3, xlab=expression(phi),
      ylab=expression(group("[",paste(phi,"|",y),"]")), col=8, lwd=6)
curve(dpostphiN(x, dados=y, mu=10), from=-2, to=3, xlab=expression(phi),
      ylab=expression(group("[",paste(phi,"|",y),"]")), add=T)
legend("topright", c("analítica","numérica"), lwd=c(6,1), col=c(8,1))

```

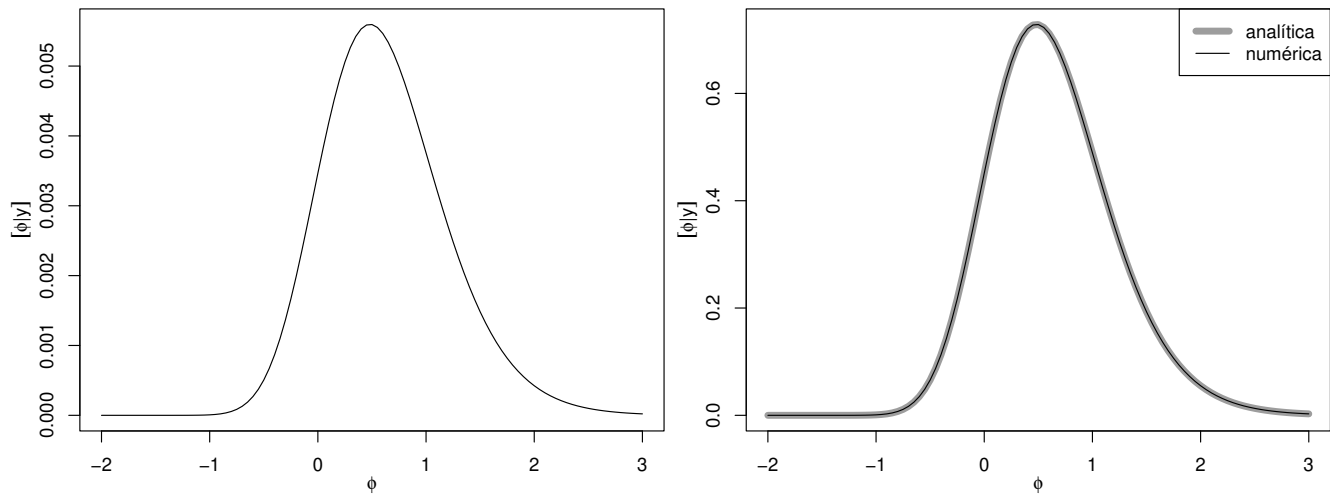


Figura 14: Densidades da posteriori  $[\phi|y]$  não normalizada (esquerda) e normalizada (direita).

```

(phi.moda <- log(sum((y-10)^2)/(length(y))))
## [1] 0.4815

(phi.hess <- - (sum((y-10)^2)/2) * exp(-phi.moda))
## [1] -3.5

(phi.hess <- - length(y)/2)
## [1] -3.5

```

Entretanto vale ressaltar que nem sempre é possível obter tais expressões analiticamente e, se este for o caso, pode-se utilizar algoritmos numéricos.

```

(phi.num <- optimize(lpostphi, interval = c(-20, 20), dados=y, mu=10, maximum=TRUE))
## $maximum
## [1] 0.4816
##
## $objective
## [1] -5.185

(phi.num.hess <- optimHess(phi.num$maximum, lpostphi, dados=y, mu=10))
##      [,1]
## [1,] -3.5

```

A aproximação normal da posteriori  $[\phi|y]$  é mostrada no gráfico da direita na Figura a seguir. Nesta parametrização a aproximação é claramente superior à obtida anteriormente para  $[\sigma^2|y]$  que é mostrada novamente na figura à esquerda.

```
par(mar=c(3, 3.2, .5, .5), mgp=c(2,1,0))
par(mfrow=c(1,2))
curve(dinvgamma(x, a=a.post, b=b.post), from=0, to=12, n=501, ylim=c(0, 0.7),
      xlab=expression(sigma^2), ylab=expression(group("[",paste(sigma^2,"|",y),"]")))
curve(dnorm(x, m=mo.post, sd=sqrt(-1/H)), from=0, to=10, n=501, col=2, add=T, lty=2)
legend("topright", c("posteriori", "aprox. normal"), lty=c(1,2), col=c(1,2), cex=0.75)
abline(v=mo.post, lty=3)
##
curve(dpostphi(x, dados=y, mu=10), from=-2, to=3, ylim=c(0, 0.75),
      xlab=expression(phi), ylab=expression(group("[",paste(phi,"|",y),"]")))
curve(dnorm(x, m=phi.moda, sd=sqrt(-1/phi.hess)), from=-2, to=3, col=4, lty=3, add=T)
legend("topright", c("posteriori", "aprox. normal"), lty=c(1,3), col=c(1,4), cex=0.75)
abline(v=phi.moda, lty=3)
```

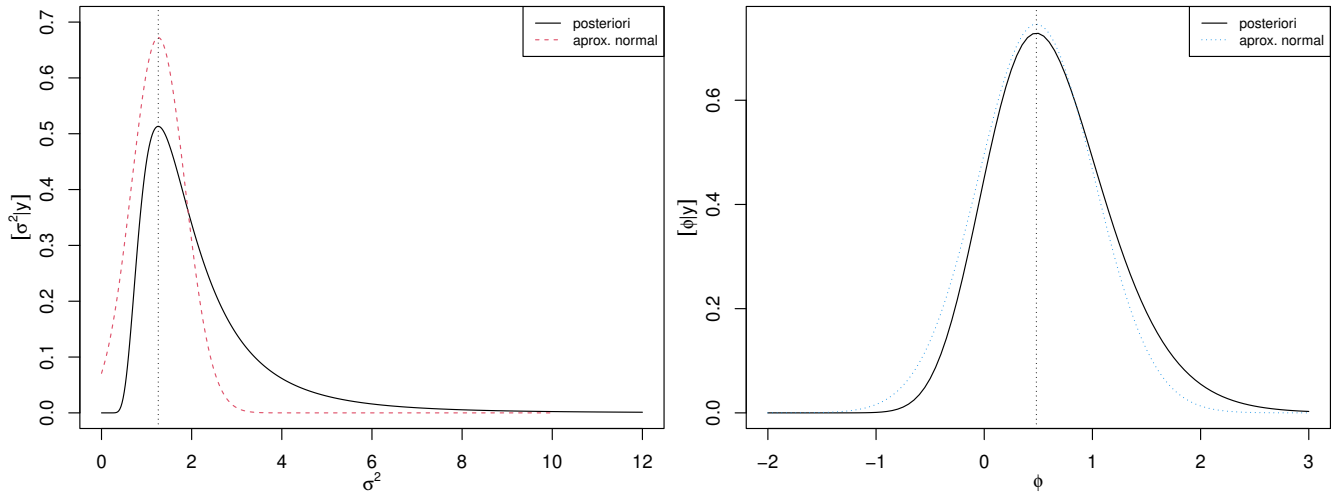


Figura 15: Comparação das aproximações normais das posteriors, na parametrização  $\sigma^2$  original (esquerda) e com a reparametrização  $\phi = \log(\sigma^2)$  (direita).

Portanto, assim como discutido para função de verossimilhança, uma melhor aproximação para  $[\sigma^2|y]$  pode ser obtida tomando-se a transformação para  $\sigma^2$  da aproximação de  $[\phi|y]$ . Em outras palavras, ao invés de aproximarmos diretamente  $[\sigma^2|y]$ , (i) obtemos a aproximação de  $\tilde{f}(\phi|y)$  e, (ii) transformamos a aproximação para obter

$$\tilde{f}_{\sigma^2|y}(\sigma^2) = \tilde{f}_{\phi|y}(h^{-1}(\phi)) \left| \frac{dh^{-1}(\phi)}{d\sigma^2} \right|.$$

Aqui, por estarmos tratando de distribuições de probabilidades, é necessário utilizar o Jacobiano para escalonar corretamente a densidade, o que não era necessário na análise de verossimilhança.

Note-se que os gráficos anteriores podem ser igualmente obtidos com os comandos a seguir, definindo sequencias de valores e avaliando as funções. Embora aparentemente mais trabalhoso, os comandos desta forma são convenientes para obter diretamente as densidades após a reparametrização, sem a necessidade de definir as densidades transformadas.

```
par(mar=c(3, 3.2, .5, .5), mgp=c(2,1,0))
par(mfrow=c(1,2))
phi.vals <- seq(-2, 2.5, l=200)
dpostphi.vals <- dpostphi(phi.vals, dados=y, mu=10)
dnorm.vals <- dnorm(phi.vals, m=phi.moda, sd=sqrt(-1/phi.hess))
```

```

plot(phi.vals, dpostphi.vals, type="l", xlab=expression(phi),
     ylab=expression(group("[",paste(phi,"|",y),"]")))
lines(phi.vals, dnorm.vals, col=4, lty=3)
##
curve(dinvgamma(x, a=a.post, b=b.post), from=0, to=12, n=501, ylim=c(0, 0.7),
     xlab=expression(sigma^2), ylab=expression(group("[",paste(sigma^2,"|",y),"]")))
curve(dnorm(x, m=mo.post, sd=sqrt(-1/H)), from=0, to=10, n=501, col=2, add=T, lty=2)
lines(exp(phi.vals), dnorm.vals*(1/exp(phi.vals)), col=4, lty=3)

```

